

МАЛОУГЛОВОЕ РАССЕЯНИЕ СВЕТА В ПОЛИМЕРНЫХ ПЛЕНКАХ С КАПЛЯМИ ЖИДКОГО КРИСТАЛЛА

B. A. Лойко^a, У. Машке^{b**}, В. Я. Зырянов^c, А. В. Конковович^a, А. А. Мискеевич^a*

^a Институт физики им. Б. И. Степанова Национальной академии наук Беларусь
220072, Минск, Беларусь

^b Laboratoire de Chimie Macromoléculaire, Université des Sciences et Technologies de Lille
F-59655, Villeneuve d'Ascq Cedex, France

^c Институт физики им. Л. В. Киренского Сибирского отделения Российской академии наук
660036, Красноярск, Россия

Поступила в редакцию 8 апреля 2008 г.

Разработан метод описания и численного моделирования угловой структуры интенсивности рассеянного излучения, прошедшего монослоем капсулированных полимером капель жидкого кристалла. Он основан на приближении эффективной среды, приближении аномальной дифракции и интерференционном приближении теории рассеяния волн. Проведен анализ структуры рассеянного в малых углах светового излучения для полимерных пленок с оптически крупными каплями жидкого кристалла. Метод позволяет исследовать полевые и температурные фазовые переходы в жидкокристаллических каплях с цилиндрической симметрией по измерениям интенсивности поляризованного рассеянного излучения.

PACS: 42.70.Df, 61.30.-v

1. ВВЕДЕНИЕ

Широкое применение жидкких кристаллов (ЖК) и создаваемых на их основе жидкокристаллических композитов в устройствах отображения информации, телекоммуникации, оптоэлектронике и т. д. обусловливает постоянный интерес к их исследованию [1–5]. Одним из эффективных методов исследования ЖК и композитных жидкокристаллических пленок является метод рассеяния света.

Капсулированные полимером жидкокристаллические (КПЖК) материалы, представляют собой полимерные пленки с диспергированными в них каплями жидкого кристалла. Разные оптические эффекты в таких системах реализуются путем изменения ориентации оптических осей (директоров) капель и конфигурации молекул ЖК в капле под действием электрических и магнитных полей, температуры и т. д., что позволяет реализовывать управляемое светорассеяние. Анизотропия ЖК-капель явля-

ется одним из факторов, приводящих к значительному усложнению решения задач рассеяния на отдельных каплях и их ансамблях по сравнению с соответствующими решениями для оптически изотропных частиц. Поэтому, как правило, используются приближенные методы решения. Выбор приближенного метода зависит от параметров исследуемого образца и длины волны облучающего света. Например, при исследовании рассеяния ЖК-каплями, имеющими размеры, меньшие или сравнимые с длиной волны света, используют приближение Рэлея или Рэлея–Ганса [6, 7]. При исследовании малоуглового рассеяния ЖК-каплями (диспергированными в полимерную матрицу) с линейными размерами, намного большими длины волны падающего излучения, используют приближение аномальной дифракции [6, 8]. Однако даже с помощью приближенных методов аналитические или полуаналитические решения могут быть получены только для некоторых частных случаев распределения молекул ЖК в капле [7, 8].

В настоящей работе предлагается метод анализа малоугловой структуры излучения, рассеянного

*E-mail: loiko@dragon.bas-net.by

**U. Maschke

капсулированным полимером монослоем жидкокристаллических капель, размер которых заметно больше длины волн излучения в полимерной матрице. Он основан на приближении аномальной дифракции и интерференционном приближении, учитываящем кооперативные эффекты [9–12] в рассеянии света ансамблем анизотропных ЖК-капель. Исследуются интенсивности компонент рассеянного в малых углах излучения, поляризованных параллельно (vv) и ортогонально (vh) плоскости поляризации линейно поляризованной плоской волны, нормально падающей на КПЖК-монослой. Рассматривается монослой сферических ЖК-капель, обладающих цилиндрической симметрией. Внутренняя структура капель и их ориентация в слое моделируется с помощью разноуровневых скалярных и тензорных параметров порядка [2, 13, 14], которые существенно упрощают решения прямой и обратной задач рассеяния [15–17].

Полученные результаты являются основой создания простых методик анализа полевых и температурных фазовых переходов в нематических жидкокристаллических каплях по измерениям угловых распределений интенсивности рассеянного излучения в поляризованном свете. Они позволяют решать задачи восстановления параметра порядка монослоя (ориентацию директоров ЖК-капель в слое) и параметра порядка ЖК-капель, размер которых заметно больше длины волн излучения в полимерной матрице.

2. УГЛОВАЯ СТРУКТУРА РАССЕЯННОГО ИЗЛУЧЕНИЯ В КПЖК-МОНОСЛОЕ. ПРИБЛИЖЕНИЕ ЭФФЕКТИВНОЙ СРЕДЫ ДЛЯ ОПТИЧЕСКИ КРУПНЫХ ЖК-КАПЕЛЬ

Рассмотрим КПЖК-монослой при нормальном освещении линейно поляризованной плоской волной (рис. 1). На рис. 1: xz — лабораторная система координат, связанная с поляризацией (ось x) и направлением распространения (ось z) падающей волны и плоскостью монослоя (xy); A — площадь слоя, освещенная падающей волной; θ_s и φ_s — полярный и азимутальный углы рассеяния; линии vv и vh определяют ориентацию компонент вектора поляризации рассеянной волны относительно плоскости поляризации падающей волны. Обозначение vv соответствует компоненте интенсивности прошедшего света, поляризованной параллельно вектору поляризации падающей волны, а vh — перпендикулярно этому вектору (в эксперименте vv - и vh -компоненты измеряются

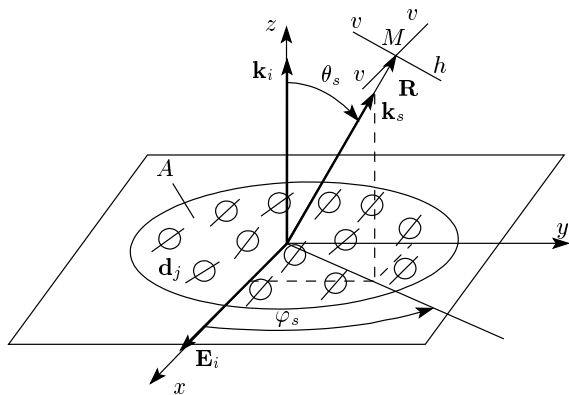


Рис. 1. Схематическое представление геометрии освещения КПЖК-монослоя для анализа угловой структуры рассеянного излучения: xz — лабораторная система координат, xy — плоскость монослоя, E_i и k_i — вектор поляризации и волновой вектор падающей волны, k_s — волновой вектор рассеянной волны, линии vv и vh определяют направления параллельной и перпендикулярной компонент вектора поляризации рассеянной волны относительно плоскости поляризации падающей волны, d_j — директор отдельной капли, A — площадь исследуемого участка слоя, R — радиус-вектор точки наблюдения M

соответственно в параллельных и скрещенных поляроидах). Вектор d_j на рис. 1, 2 задает ориентацию директора отдельной ЖК-капли, $j = 1, \dots, N$, N — число капель ЖК на площади A .

Мы рассматриваем монослои крупных капель, размер которых заметно больше длины волн излучения в полимерной матрице. Показатели преломления жидкого кристалла и полимера, в котором распределены капли жидкого кристалла, близки. В таких условиях переоблучение между частицами монослоя пренебрежимо мало и для описания рассеяния на ансамбле частиц можно использовать приближение однократного рассеяния, называемое также интерференционным приближением [10], поскольку оно учитывает интерференцию рассеянных каплями волн в дальней зоне. Чем крупнее частицы, тем меньше вклад перерассеяния в монослое, поскольку основное количество света рассеивается в направлении падающего пучка. Полагая, что частицы освещаются только падающим на слой излучением и учитывая интерференцию рассеянных каплями волн в дальней зоне, запишем выражения для vv - и vh -компонент интенсивностей некогерентного (диффузного) излучения, прошедшего монослоем капель жидкого кристалла, в виде

$$I_{inc}^{vv} = \frac{E_i^2 N}{k^2 R^2} \sum_{l=1}^m P_l |f_l^{vv}(\mathbf{k}_s)|^2 + \\ + \frac{E_i^2 N}{k^2 R^2} \sum_{l,l'=1}^m P_l P_{l'} f_l^{vv}(\mathbf{k}_s) f_{l'}^{vv*}(\mathbf{k}_s) (S_{ll'}(\mathbf{k}_s) - 1), \quad (1)$$

$$I_{inc}^{vh} = \frac{E_i^2 N}{k^2 R^2} \sum_{l=1}^m P_l |f_l^{vh}(\mathbf{k}_s)|^2 + \\ + \frac{E_i^2 N}{k^2 R^2} \sum_{l,l'=1}^m P_l P_{l'} f_l^{vh}(\mathbf{k}_s) f_{l'}^{vh*}(\mathbf{k}_s) (S_{ll'}(\mathbf{k}_s) - 1), \quad (2)$$

где парциальные структурные факторы $S_{ll'}(\mathbf{k}_s)$ определяются соотношением

$$S_{ll'}(\mathbf{k}_s) = 1 + \Lambda \int_A (W_{ll'}(\mathbf{r}) - 1) \exp(i\mathbf{k}_s \cdot \mathbf{r}) d\mathbf{r}. \quad (3)$$

В приведенных выражениях E_i — амплитуда падающей волны, k — модуль волнового вектора падающей волны в полимере, R — расстояние от начала координат до точки наблюдения M (см. рис. 1), индексы l, l' обозначают типы ЖК-капель, различных по форме, размерам, внутренней структуре и т. д., m — общее число различных типов ЖК-капель, $P_l, P_{l'}$ — парциальные плотности числа ЖК-капель на единице площади, N — общее число ЖК-капель на площади исследуемого участка A , Λ — средняя плотность числа ЖК-капель на единице площади, $W_{ll'}(\mathbf{r})$ — парциальные бинарные функции распределения, определяющие условную вероятность обнаружения ЖК-капель разных типов на расстоянии \mathbf{r} в плоскости монослоя xy , $f_l^{vv}(\mathbf{k}_s)$ и $f_l^{vh}(\mathbf{k}_s)$ — компоненты векторной амплитудной функции рассеяния в направлении волнового вектора \mathbf{k}_s для разных типов ЖК-капель, символ $\langle *\rangle$ означает операцию комплексного сопряжения.

Отметим, что выражения для I_{inc}^{vv} и I_{inc}^{vh} получены с учетом кооперативных интерференционных эффектов [9, 10], имеющих существенное влияние на характер рассеяния в КПЖК-монослое при высокой концентрации ЖК-капель. Степень влияния интерференционных эффектов определяется вторыми слагаемыми в формулах (1), (2) и отличием значений парциальных структурных факторов $S_{ll'}(\mathbf{k}_s)$ от единицы.

Для анализа угловой структуры рассеянного излучения, как видно из выражений (1)–(3), необходимо решение задач рассеяния на отдельных ЖК-каплях (определение компонент векторной амплитудной функции рассеяния $f_l^{vv}(\mathbf{k}_s)$ и $f_l^{vh}(\mathbf{k}_s)$) и пространственно-ориентационного распределения

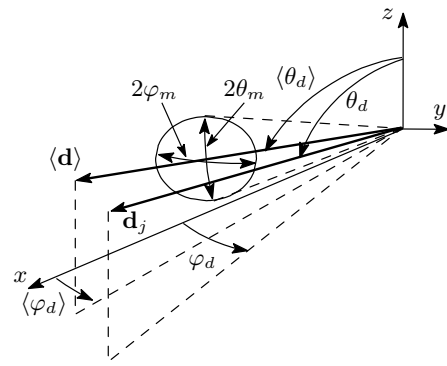


Рис. 2. Схематическое представление ориентации директоров ЖК-капель в монослое: $\langle \mathbf{d} \rangle$ — среднее направление ориентации директоров капель, $\langle \theta_d \rangle$ и $\langle \varphi_d \rangle$ — полярный и азимутальный углы, задающие ориентацию вектора $\langle \mathbf{d} \rangle$, θ_d и φ_d — полярный и азимутальный углы, задающие ориентацию директоров \mathbf{d}_j отдельных капель, $2\varphi_m$ — угол раскрытия конуса директоров капель в плоскости $\langle \mathbf{d} \rangle y$, $2\theta_m$ — угол раскрытия конуса директоров капель в плоскости $\langle \mathbf{d} \rangle z$

ЖК-капель в КПЖК-монослое (определение парциальных бинарных функций распределения $W_{ll'}(\mathbf{r})$ и соответствующих парциальных структурных факторов $S_{ll'}(\mathbf{k}_s)$). В общем случае решение данных задач является сложным и громоздким из-за сложности изменения конфигурации молекул ЖК в капле под действием внешних факторов. Как следствие, и решение обратных задач рассеяния является проблематичным [17]. Поэтому используют приближенные методы, которые позволяют упростить решения и связать угловую структуру рассеянного в КПЖК-монослое излучения с различными видами ориентационной структуры слоя и образующих его ЖК-капель.

Предположим, что директоры ЖК-капель в слое ориентированы около выделенного направления. На рис. 2 схематически показано угловое распределение директоров ЖК-капель в слое. Вектор $\langle \mathbf{d} \rangle$ задает направление средней ориентации директоров ЖК-капель внутри конуса, в пределах которого ориентируются директоры \mathbf{d}_j капель. Для анализа угловой структуры рассеянного излучения воспользуемся приближением эффективной среды [2, 13]. В рамках этого приближения при описании рассеяния света жидкокристаллическими каплями с цилиндрической симметрией вводятся эффективные показатели преломления капли для обыкновенной n_{do} и необыкновенной n_{de} волн [2]. Формулы для их определения

имеют вид [15, 16]

$$n_{do} = n_{iso} - \frac{1}{3}\Delta n S_d, \quad (4)$$

$$n_{de} = n_{iso} + \frac{1}{3}\Delta n S_d(1 - 2S_{fz}), \quad (5)$$

где $n_{iso} = (2n_o + n_e)/3$, $\Delta n = n_e - n_o$, n_o и n_e — показатели преломления ЖК для обыкновенной и необыкновенной волн, S_d — скалярный параметр порядка ЖК-капель [2], S_{fz} — z -компоненты тензорного параметра порядка [14, 16] КПЖК-монослоя.

Отметим, что приближение эффективной среды для ЖК-капель дает хорошее соответствие с экспериментальными данными при исследовании когерентной (направленной) интенсивности прошедшего через КПЖК-слой излучения [15–17]. Можно ожидать удовлетворительного соответствия между теоретическими и экспериментальными данными при малоугловом рассеянии света в КПЖК-слоях. Для простоты решения рассмотрим монослой ЖК-капель одинакового размера с равномерным распределением их директоров $p(\mathbf{d}_j)$ в пределах конического телесного угла $\Delta\Omega$, представленного на рис. 2, т. е.

$$p(\mathbf{d}_j) = \begin{cases} 1/\Delta\Omega, & \mathbf{d}_j \in \Delta\Omega, \\ 0, & \mathbf{d}_j \notin \Delta\Omega. \end{cases} \quad (6)$$

Мы полагаем, что отсутствует слипание жидкокристаллических капель. Тогда на основе выражений (1)–(3), используя приближение эффективных показателей преломления, аномальной дифракции для оптически крупных монодисперсных сферических ЖК-капель ($2kc(n_{e,o}/n_p - 1) \gg 1$, где c — радиус капель, n_p — показатель преломления связующего полимера) и интерференционное приближение, найдем

$$I_{inc}^{vv}(\theta_s, \varphi_s) = C_{vv} \frac{\eta}{\sigma k^2} \left\langle |f_{vv}(\theta_s, \varphi_s)|^2 \right\rangle S(\theta_s), \quad (7)$$

$$I_{inc}^{vh}(\theta_s, \varphi_s) = C_{vh} \frac{\eta}{\sigma k^2} \left\langle |f_{vh}(\theta_s, \varphi_s)|^2 \right\rangle S(\theta_s), \quad (8)$$

$$\begin{aligned} \left\langle |f_{vv}(\theta_s, \varphi_s)|^2 \right\rangle &= \frac{k^4 c^4}{4} \left\{ |H_e(\theta_s)|^2 \langle \cos^4(\varphi_s - \varphi_d) \rangle + \right. \\ &+ |H_o(\theta_s)|^2 \langle \sin^4(\varphi_s - \varphi_d) \rangle + \frac{1}{2} (\operatorname{Re} H_e(\theta_s) \operatorname{Re} H_o(\theta_s) + \\ &\left. + \operatorname{Im} H_e(\theta_s) \operatorname{Im} H_o(\theta_s)) \langle \sin^2 2(\varphi_s - \varphi_d) \rangle \right\}, \quad (9) \end{aligned}$$

$$\begin{aligned} \left\langle |f_{vh}(\theta_s, \varphi_s)|^2 \right\rangle &= \frac{k^4 c^4}{16} \left\{ |H_e(\theta_s)|^2 + |H_o(\theta_s)|^2 - \right. \\ &- 2 (\operatorname{Re} H_e(\theta_s) \operatorname{Re} H_o(\theta_s) + \operatorname{Im} H_e(\theta_s) \operatorname{Im} H_o(\theta_s)) \times \\ &\left. \times \langle \sin^2 2(\varphi_s - \varphi_d) \rangle \right\}, \quad (10) \end{aligned}$$

$$\begin{aligned} \langle \cos^4(\varphi_s - \varphi_d) \rangle &= \frac{3}{8} + \frac{1}{2} \cos 2(\varphi_s - \langle \varphi_d \rangle) \operatorname{sinc} 2\varphi_m + \\ &+ \frac{1}{8} \cos 4(\varphi_s - \langle \varphi_d \rangle) \operatorname{sinc} 4\varphi_m, \quad (11) \end{aligned}$$

$$\begin{aligned} \langle \sin^4(\varphi_s - \varphi_d) \rangle &= \frac{3}{8} - \frac{1}{2} \cos 2(\varphi_s - \langle \varphi_d \rangle) \operatorname{sinc} 2\varphi_m + \\ &+ \frac{1}{8} \cos 4(\varphi_s - \langle \varphi_d \rangle) \operatorname{sinc} 4\varphi_m, \quad (12) \end{aligned}$$

$$\begin{aligned} \langle \sin^2 2(\varphi_s - \varphi_d) \rangle &= \\ &= \frac{1}{2} (1 - \cos 4(\varphi_s - \langle \varphi_d \rangle) \sin 4\varphi_m), \quad (13) \end{aligned}$$

$$\begin{aligned} H_{e,o}(\theta_s) &= 2 \int_0^1 \left(1 - \exp \left(iv_{de,do} \sqrt{1 - u^2} \right) \right) \times \\ &\times J_0(zu) u du. \quad (14) \end{aligned}$$

Здесь угловые скобки обозначают усреднение по ориентации директоров ЖК-капель,

$$z = kc \sin \theta_s, \quad v_{de,do} = 2kc(n_{de,do}/n_p - 1), \quad \sigma = \pi c^2,$$

η — коэффициент перекрытия (заполнения) слоя, равный отношению площади проекций всех капель на плоскость монослоя к площади, на которой они расположены (в монодисперсном случае $\eta = N\sigma/A$), эффективные показатели преломления капли для обыкновенной n_{do} и необыкновенной n_{de} волн находятся по формулам (4), (5); параметры C_{vv} , C_{vh} определяются условиями эксперимента и зависят от мощности источника излучения, чувствительности приемника, расстояния между исследуемым образцом и приемником.

Структурный фактор $S(\theta_s)$, входящий в выражения (7), (8), может быть рассчитан численно [9, 11]. Нами использована аппроксимация Перкуса–Йевика для монодисперсных твердых сфер, предложенная авторами работы [18]. Данная аппроксимация позволяет достаточно простоным образом исследовать влияние концентрационных оптических эффектов первого рода на угловую структуру рассеянного излучения и облегчить решения обратных задач [9]. Отметим, что в общем случае для учета полидисперсности необходимо численное решение интегрального уравнения Орнштейна–Цернике [10]. Следуя аппроксимации Перкуса–Йевика,

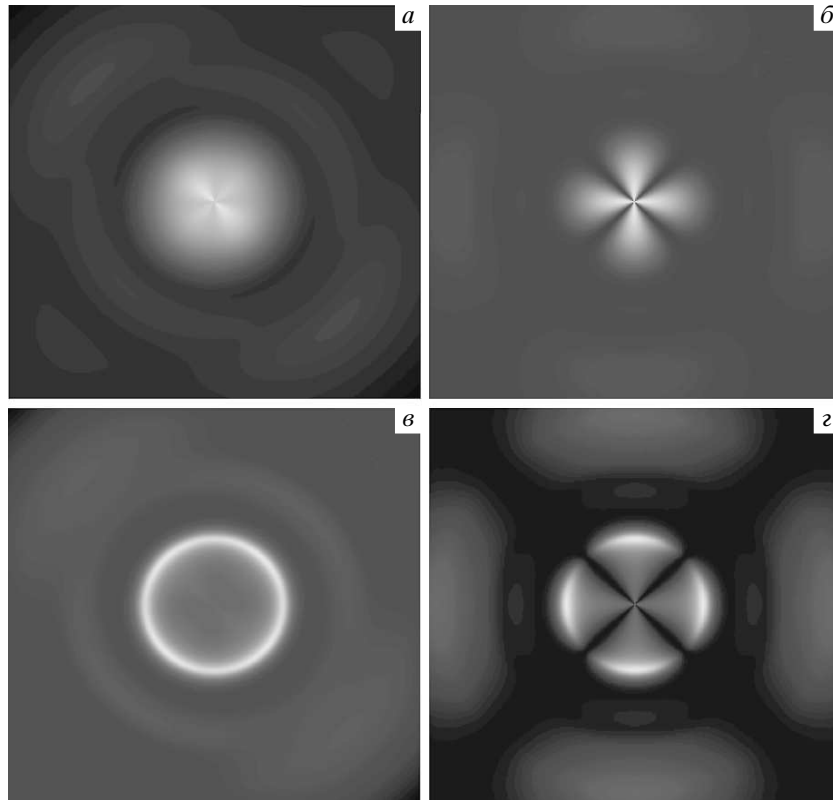


Рис. 3. Структура рассеянного в малых углах излучения $I_{inc}^{vv}(\theta_s, \varphi_s)$ (а, с) и $I_{inc}^{vh}(\theta_s, \varphi_s)$ (б, д) при коэффициентах перекрытия монослоя $\eta = 0.05$ (а, б), 0.65 (с, д). $\varphi_m = 1^\circ$, $S_d = 0.7$, $S_{fz} = -1/2$, $c = 5$ мкм, $\langle \varphi_d \rangle = 45^\circ$

запишем выражение для структурного фактора в виде

$$\begin{aligned} S(\theta_s) &= \\ &= \left\{ 1 + \frac{4\eta}{1-\eta} \frac{2J_1(2z)}{2z} + \frac{4\eta^2}{(1-\eta)^2} J_0(z) \frac{2J_1(z)}{z} + \right. \\ &\quad \left. + \left(\frac{\eta^2}{(1-\eta)^2} + \frac{2\eta^3}{(1-\eta)^3} \right) \left[\frac{2J_1(z)}{z} \right]^2 \right\}^{-1}, \quad (15) \end{aligned}$$

где J_0 и J_1 — цилиндрические функции Бесселя первого рода соответственно нулевого и первого порядков.

Предложенная методика позволяет анализировать угловую структуру излучения, рассеянного монослоями капель и отдельными каплями жидкого кристалла, в зависимости от состава капель, их структуры, концентрации капель и ориентации их оптических осей. Она позволяет решать задачу нахождения характеристик слоя и капель по структуре света, рассеянного в малых углах. Результаты численного моделирования, приведенные в следующем разделе, иллюстрируют возможности изложенного

подхода на ряде конкретных примеров решения прямой задачи рассеяния.

3. РЕЗУЛЬТАТЫ

Данные об угловой структуре рассеянного излучения представлены на рис. 3–6. Они рассчитаны по приведенным в разд. 2 соотношениям (7)–(15) и показывают распределение интенсивностей излучения $I_{inc}^{vv}(\theta_s, \varphi_s)$ и $I_{inc}^{vh}(\theta_s, \varphi_s)$ в углах $0 < \theta_s \leq 7^\circ$, $0 \leq \varphi_s \leq 360^\circ$. Значения параллельной $I_{inc}^{vv}(\theta_s, \varphi_s)$ и перпендикулярной $I_{inc}^{vh}(\theta_s, \varphi_s)$ компонент интенсивности рассеянного света выражены в условных единицах. Шкала яркости выбрана таким образом, что, чем больше интенсивность рассеянного света, тем светлее область на рисунке.

Расчеты выполнены для длины волны падающего излучения $\lambda = 0.6328$ мкм, показателей преломления ЖК — обычного $n_o = 1.5183$ и необычного $n_e = 1.7378$, показателя преломления полимерной матрицы $n_p = 1.524$. Структуры рассеянного света, представленные на рис. 3–5, построены

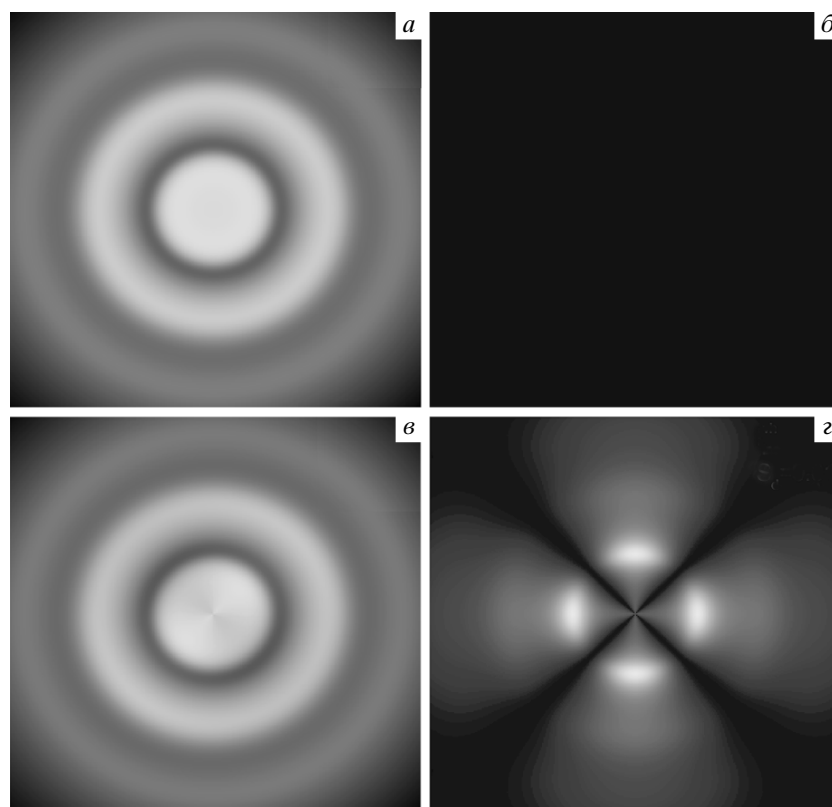


Рис. 4. Структура рассеянного в малых углах излучения $I_{inc}^{vv}(\theta_s, \varphi_s)$ (a, б) и $I_{inc}^{vh}(\theta_s, \varphi_s)$ (б, г) при параметрах порядка капель ЖК $S_d = 0$ (а, б), 0.01 (в, г). $\varphi_m = 1^\circ$, $\eta = 0.45$, $S_{fz} = -1/2$, $c = 5$ мкм, $\langle \varphi_d \rangle = 45^\circ$

для планарной ориентации директоров ЖК-капель (в этом случае z -компоненты тензорного параметра порядка $S_{fz} = -1/2$) при малых углах раскрытия конуса $2\varphi_m = 2\theta_m = 2^\circ$ (с ростом угла дезориентации φ_m , за исключением случая хаотической ориентации директоров ЖК-капель, необходим учет других компонент тензорного параметра порядка [16]) и для азимутального угла преимущественной ориентации директоров ЖК-капель $\langle \varphi_d \rangle = 45^\circ$. Они иллюстрируют изменение распределения интенсивности рассеянного в малых углах излучения от коэффициента перекрытия η (рис. 3), параметра порядка ЖК-капель S_d (рис. 4) и радиуса c ЖК-капель (рис. 5). Рисунок 6 показывает изменение угловой структуры рассеяния при переходе от ориентированной структуры директоров ($\varphi_m = 1^\circ$) к их случайному распределению ($\varphi_m = 90^\circ$).

При увеличении концентрации частиц в слое наблюдается сдвиг максимума интенсивности рассеянного излучения от направления волнового вектора падающей волны [9]. Рисунок 3 иллюстрирует смещение максимума рассеяния при переходе от малой ($\eta = 0.05$) к большой ($\eta = 0.65$) концентраций монодисперсных частиц.

На рисунке 4 иллюстрируется влияние конфигурации молекул жидкокристаллической капли на интенсивность рассеянного излучения. Из приведенных данных видно, что vh -компоненты могут сильно меняться при малом изменении параметра порядка ЖК-капли S_d . Наибольшая чувствительность к изменению конфигурации молекул в капле имеет место в окрестности значения $S_d = 0$. При случайному распределении молекул ЖК внутри капель (капли изотропны, $S_d = 0$) пропускание света слоем в скрещенных поляризаторах равно нулю (рис. 4б). С появлением даже незначительной упорядоченности молекул

Рисунок 4 иллюстрирует влияние конфигурации молекул жидкокристаллической капли на интенсивность рассеянного излучения. Из приведенных данных видно, что vh -компоненты могут сильно меняться при малом изменении параметра порядка ЖК-капли S_d . Наибольшая чувствительность к изменению конфигурации молекул в капле имеет место в окрестности значения $S_d = 0$. При случайному распределении молекул ЖК внутри капель (капли изотропны, $S_d = 0$) пропускание света слоем в скрещенных поляризаторах равно нулю (рис. 4б). С появлением даже незначительной упорядоченности молекул

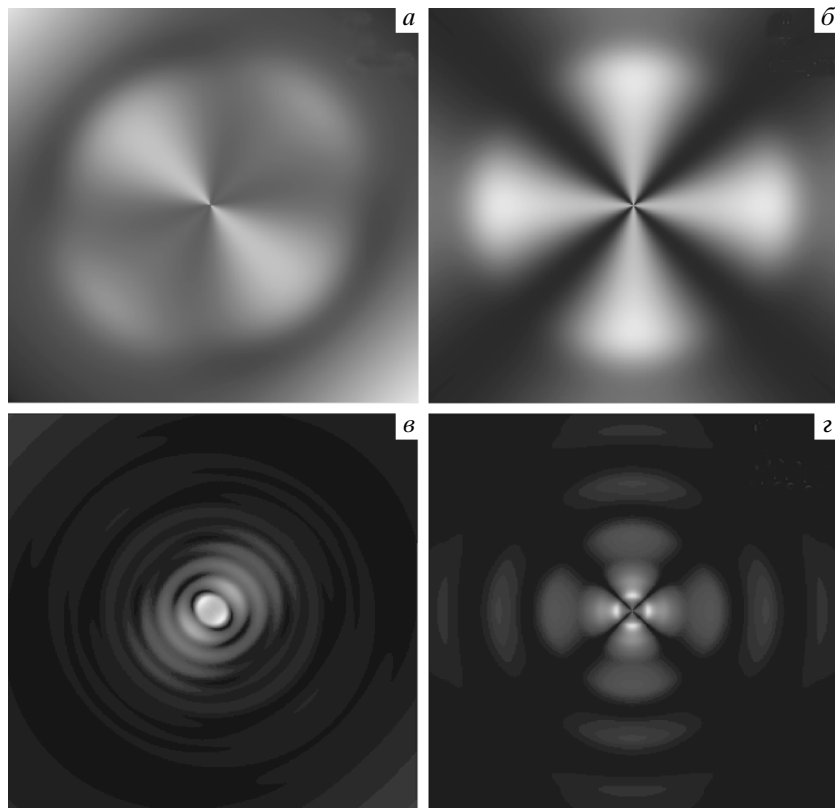


Рис. 5. Структура рассеянного в малых углах излучения $I_{inc}^{vv}(\theta_s, \varphi_s)$ (а, б) и $I_{inc}^{vh}(\theta_s, \varphi_s)$ (б, г) при значениях радиуса капель ЖК $c = 2$ (а, б), 20 (б, г) мкм. $\varphi_m = 1^\circ$, $\eta = 0.45$, $S_d = 0.7$, $S_{fz} = -1/2$, $\langle\varphi_d\rangle = 45^\circ$

кул ЖК в каплях (рис. 4г) пропускание в скрещенных поляроидах резко возрастает, что может служить индикатором фазового перехода жидкого кристалла.

Увеличение размеров ЖК-капель приводит к сужению углового распределения интенсивности рассеянного света вдоль направления падающей волны. На рис. 5 показаны результаты численного моделирования для монослоя с малыми (радиус капли $c = 2$ мкм) и большими ($c = 20$ мкм) ЖК-каплями.

С ростом дезориентации директоров капель ЖК в слое уменьшается анизотропия рассеянного излучения по азимутальному углу φ_s . На рис. 6 показано распределение интенсивности рассеянного излучения при упорядоченной ($\varphi_m = 1^\circ$, $S_{fz} = -1/2$) и случайной ($\varphi_m = 90^\circ$, $S_{fz} = 0$) ориентациях директоров капель ЖК в слое.

Обратим внимание на симметрию структур рассеянного излучения вдоль диагоналей рис. 3–6. Она обусловлена тем, что для расчетов нами был выбран угол средней ориентации директоров капель $\langle\varphi_d\rangle = 45^\circ$.

Положение, форма, соотношение площадей темных и светлых областей («кольцо» и «крестов») определяются следующими факторами:

- 1) кооперативными интерференционными эффектами, вследствие которых происходит перераспределение интенсивности рассеянного излучения;
- 2) степенью ориентирования оптических осей (директоров) ЖК-капель в монослое;
- 3) параметрами ЖК-капель (размером c , параметром порядка S_d) и жидкого кристалла.

На основе полученных для прямых задач рассеяния решений можно изучать обратные задачи рассеяния: определять размеры и ориентацию директоров ЖК-капель, а также концентрации ЖК и полимера, необходимые для создания пленок с заданными параметрами.

Отметим, что при малых коэффициентах перекрытия η и размерах ЖК-капель, соответствующих области рассеяния Рэлея–Ганса [6], результаты предложенного метода анализа угловой структуры рассеянного излучения в КПЖК-монослое качественно согласуются с результатами, полученны-

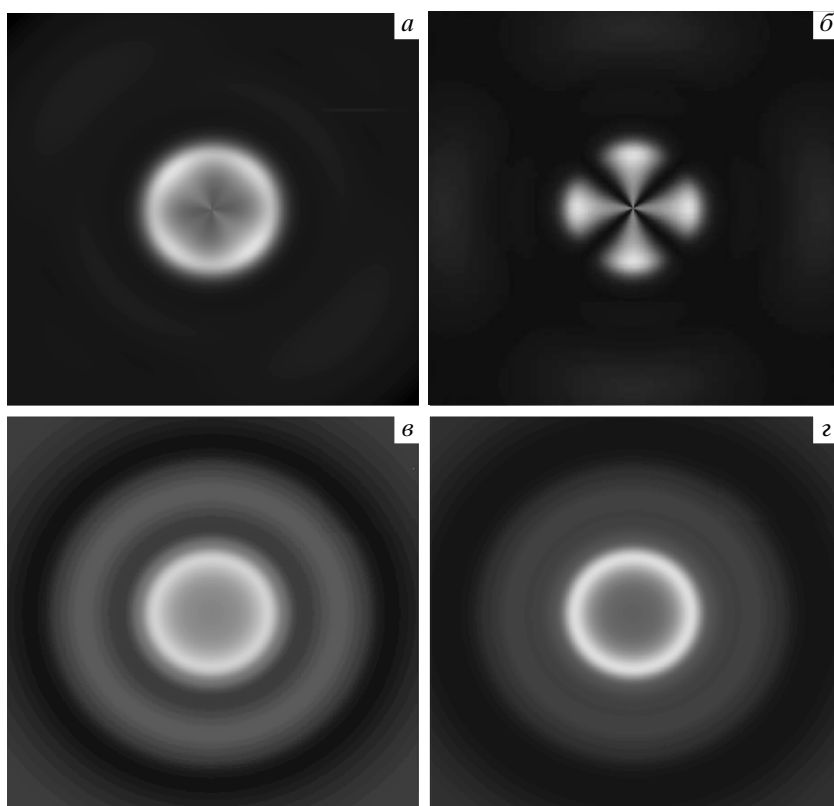


Рис. 6. Структура рассеянного в малых углах излучения $I_{inc}^{vv}(\theta_s, \varphi_s)$ (a, c) и $I_{inc}^{vh}(\theta_s, \varphi_s)$ (b, d) при углах дезориентации директоров капель ЖКК $\varphi_m = 1^\circ$ (a, b), 90° (c, d), $S_{fz} = -1/2$ (a, b), 0 (c, d). $\eta = 0.45$, $S_d = 0.7$, $c = 5$ мкм, $\langle \varphi_d \rangle = 45^\circ$

ми в работах [19, 20] для отдельных ЖКК-капель с биполярной и аксиальной конфигурациями молекул ЖКК.

4. ЗАКЛЮЧЕНИЕ

Разработан метод описания и численного моделирования углового распределения интенсивности рассеянного излучения, прошедшего КПЖК-монослой. Приведены результаты расчетов, иллюстрирующие изменение структуры рассеянного в малых углах излучения от концентрации капель, их размера, параметра порядка капель жидкого кристалла и слоя.

В основу метода положены приближения аномальной дифракции и эффективных показателей преломления капель жидкого кристалла. Он учитывает кооперативные эффекты в рассеянии света ансамблем частиц. Метод применим для решения задач анализа структуры распределения молекул жидкого кристалла в капле методом поляризационной оптической микроскопии. Он позволяет анализиро-

вать полевые и температурные фазовые переходы в жидкокристаллических каплях с цилиндрической симметрией (биполярная, аксиальная и другие конфигурации молекул жидкого кристалла в капле) по угловой структуре рассеянного в малых углах света.

Результаты могут быть использованы при разработке различных устройств на основе капсулированных полимером жидкокристаллических пленок (амплитудных и фазовых модуляторов света, преобразователей поляризации, дисплеев и т. д.), отклик которых обусловлен изменением конфигурации ЖК под действием внешних факторов.

ЛИТЕРАТУРА

1. М. Клеман, О. Д. Лаврентович, *Основы физики частично упорядоченных сред*, Физматлит, Москва (2007).
2. F. Simoni, *Nonlinear Properties of Liquid Crystals and Polymer Dispersed Liquid Crystals*, World Sci., Singapore (1997).

3. F. Gyselinck, U. Maschke, A. Traisnel, and X. Coqueret, *Liq. Cryst.* **27**, 421 (2000).
4. C. Chiccoli, P. Pasini, G. Skacej, C. Zannoni, and S. Zumer, *Phys. Rev. E* **62**, 3766 (2000).
5. В. Я. Зырянов, М. Н. Крахалев, О. О. Прищепа, А. В. Шабанов, *Письма в ЖЭТФ* **86**, 440 (2007).
6. Г. Ван де Хюлст, *Рассеяние света малыми частицами*, Мир, Москва (1961).
7. S. Zumer and J. W. Doane, *Phys. Rev. A* **34**, 3373 (1986).
8. S. Zumer, *Phys. Rev. A* **37**, 4006 (1988).
9. А. П. Иванов, В. А. Лойко, В. П. Дик, *Распространение света в плотноупакованных дисперсных средах*, Наука и техника, Минск (1988).
10. V. A. Loiko and A. V. Konkolovich, *J. Phys. D: Appl. Phys.* **33**, 2201 (2000).
11. Дж. Займан, *Модели беспорядка*, Мир, Москва (1982).
12. M. I. Mishchenko, L. D. Travis, and A. A. Lacis, *Multiple Scattering of Light by Particles*, Cambridge Univ. Press, New York (2006), p. 478.
13. S. Chandrasekhar, *Liquid Crystals*, Cambridge Univ. Press, Cambridge (1992).
14. Л. М. Блинов, *Электро- и магнитооптика жидкокристаллов*, Наука, Москва (1978).
15. В. А. Лойко, А. В. Конколович, А. А. Мискевич, *Опт. и спектр.* **101**, 685 (2006).
16. В. А. Лойко, А. В. Конколович, А. А. Мискевич, *ЖЭТФ* **132**, 996 (2007).
17. V. A. Loiko, A. V. Konkolovich, and A. A. Miskevich, *Phys. Rev. E* **74**, 031704 (2006).
18. J. A. Lock and Chiu Chin-Lien, *Appl. Opt.* **33**, 4663 (1994).
19. J. Ding and Y. Yang, *Mol. Cryst. Liq. Cryst.* **238**, 47 (1994).
20. J. Ding and Y. Yang, *Mol. Cryst. Liq. Cryst.* **257**, 63 (1994).